

# ТРАЕКТОРИИ ЛУЧЕЙ В РАДИАЛЬНО-ГРАДИЕНТНОЙ СРЕДЕ

С.Е. Курушина, В.В. Максимов, Ю.Л. Ратис  
Самарский государственный аэрокосмический университет

## Аннотация

Аналитические решения лучевого уравнения получены для радиально – градиентной среды с профилем показателя преломления, ограниченным членами четвертой и шестой степени расстояния от оптической оси в разложении показателя преломления в ряд.

## Введение

Для анализа оптических систем, содержащих элементы с радиально-градиентным профилем показателя преломления, необходимо знать представленное в аналитическом виде уравнение траектории луча, распространяющегося в такой среде.

Один из возможных способов аналитического решения лучевого уравнения состоит в представлении траектории луча в виде разложения по степеням расстояния  $z$ , измеренного вдоль оси симметрии профиля показателя преломления. Полученные на этой основе формулы представлены в работе [1]. Недостаток этого способа заключается в том, что при практических расчетах бесконечные ряды заменяются конечными суммами, в результате чего ход луча рассчитывается приближенно.

Другой способ основан на методе последовательных приближений. Этот способ был применен в работах [2, 3, 4] к радиально-градиентным средам с положительной оптической силой, и обобщен в работе [5] на среды как с положительной, так и отрицательной оптическими силами.

В данной работе предложен метод определения траектории луча в цилиндрической системе координат, позволяющий для среды заданной оптической силы найти координаты произвольной точки луча  $\rho$  (расстояние от оптической оси) и  $\varphi$  (полярный угол) в зависимости от расстояния  $z$ , измеренного вдоль оси симметрии профиля показателя преломления.

## Постановка задачи

Для среды с радиально-градиентным распределением показателя преломления его профиль определяется выражением:

$$n = \sum_{k=0} n_k \rho^{2k}, \quad (1)$$

где  $\rho$  - расстояние от оптической оси системы. Тогда с учетом  $\rho^6$ :

$$n = n_0 - \text{sign}(-n_1)n_1\rho^2 + n_2\rho^4 + n_3\rho^6 + \dots \quad (2)$$

Здесь

$$\text{sign}(-n_1) = \begin{cases} 1, & (n_1 < 0) \\ 0, & (n_1 = 0) \\ -1, & (n_1 > 0) \end{cases}. \quad (3)$$

Если первый коэффициент радиального градиента  $n_1 < 0$ , то среда обладает положительной оптической силой.

Квадрат показателя преломления может быть представлен в виде:

$$\begin{aligned} n^2 &= n_0^2(1 - \text{sign}(-n_1)\tau_1^2\rho^2 + \tau_1^4\tau_2\rho^4 - \\ &- \text{sign}(-n_1)\tau_1^6\tau_3\rho^6 + \dots), \text{ где} \\ \tau_1^2 &= \frac{2|n_1|}{n_0}, \\ \tau_2 &= \frac{1}{2}\left(\frac{1}{2} + \frac{n_2n_0}{n_1^2}\right), \\ \tau_3 &= \frac{n_0}{4n_1^2}\left(n_2 + \frac{n_3n_0}{n_1}\right). \end{aligned} \quad (4)$$

Ход луча будем описывать в цилиндрической полярной системе координат, ось  $Oz$  которой совпадает с осью симметрии распределения показателя преломления.

Учитывая, что показатель преломления зависит только от координаты  $\rho$ , в выбранной системе координат лучевое уравнения принимает вид [6]

$$\frac{d}{ds} \left[ n \left( \frac{d\rho}{ds} \vec{e}_\rho + \rho \frac{d\varphi}{ds} \vec{e}_\varphi + \frac{dz}{ds} \vec{e}_z \right) \right] = \frac{dn}{d\rho} \vec{e}_\rho, \quad (5)$$

где  $\vec{e}_\rho, \vec{e}_\varphi, \vec{e}_z$  - единичные орты цилиндрической полярной системы координат. После преобразований [6] это уравнение можно представить в виде системы двух уравнений для компонент  $\rho$  и  $\varphi$

$$\left. \begin{aligned} \frac{d\rho}{dz} &= \frac{1}{\beta_z} \left( n^2(\rho) - \beta_z^2 - \frac{\beta_\varphi^2}{\rho^2} \right)^{1/2}, \\ \frac{d\varphi}{d\rho} &= \frac{\beta_\varphi}{\rho^2} \left( n^2(\rho) - \beta_z^2 - \frac{\beta_\varphi^2}{\rho^2} \right)^{-1/2} \end{aligned} \right\}, \quad (6)$$

где величины

$$\begin{aligned} \beta_z &= n(\rho) \cos \gamma = n(\rho_0) \cos \gamma_0 \\ \beta_\varphi &= n(\rho) \rho \sin \gamma \cos \phi = n(\rho_0) \rho_0 \sin \gamma_0 \cos \phi_0 \end{aligned} \quad (7)$$

являются инвариантами в радиально-градиентной среде. Углы  $\gamma$  и  $\phi$  показаны на рис. 1. Величина  $\beta_z$  представляет собой оптический направляющий коэффициент луча относительно оси  $Oz$ .

Точка входа луча в неоднородную среду характеризуется величинами  $\rho_0$  и  $\phi_0$ .

Таким образом, задача определения траектории луча, распространяющегося в радиально-градиентной среде с профилем показателя преломления, ограниченным членами четвертой и шестой степени расстояния от оптической оси в разложении показателя преломления в ряд, сводится к решению системы дифференциальных уравнений (6) с учетом выражения (4) при заданных начальных условиях.

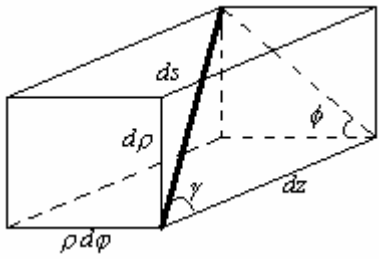


Рис. 1. Разложение элемента длины луча на компоненты

### Анализ траекторий лучей

1. Квадрат показателя преломления ограничен  $\rho^4$ . Запишем первое из уравнений системы (6) для случая, когда

$$n^2 = n_0^2(1 - \text{sign}(-n_1)\tau_1^2\rho^2 + \tau_1^4\tau_2\rho^4) : \quad (8)$$

$$\begin{aligned} \frac{d\rho}{dz} &= \frac{1}{\beta_z}(n_0^2 - \beta_z^2 - \text{sign}(-n_1)n_0^2\tau_1^2\rho^2 + \\ &+ n_0^2\tau_1^4\tau_2\rho^4 - \frac{\beta_\phi^2}{\rho^2})^{1/2} \end{aligned} \quad (9)$$

При  $n_1 > 0$ , когда среда обладает отрицательной оптической силой,  $-\text{sign}(-n_1)n_0^2\tau_1^2 = n_0^2\tau_1^2$ , что далее в формулах соответствует верхнему знаку.

В случае  $n_1 < 0$  среда обладает положительной оптической силой,  $-\text{sign}(-n_1)n_0^2\tau_1^2 = -n_0^2\tau_1^2$ , что далее в формулах соответствует нижнему знаку.

После замены  $\rho^2 = \xi$  получим

$$\begin{aligned} \frac{d\xi}{dz} &= \frac{2}{\beta_z}(n_0^2\tau_1^4\tau_2\xi^3 \pm n_0^2\tau_1^2\xi^2 + \\ &+ (n_0^2 - \beta_z^2)\xi - \beta_\phi^2)^{1/2} \end{aligned} \quad (10)$$

Приведем кубический многочлен к каноническому виду

$$\begin{aligned} \frac{d\xi}{dz} &= \frac{2n_0\tau_1^2\sqrt{\tau_2}}{\beta_z}(\xi^3 \pm \frac{1}{\tau_1^2\tau_2}\xi^2 + \\ &+ \frac{(n_0^2 - \beta_z^2)}{n_0^2\tau_1^4\tau_2}\xi - \frac{\beta_\phi^2}{n_0^2\tau_1^4\tau_2})^{1/2} \end{aligned} \quad (11)$$

и сделаем замену переменных [9]

$$\eta = \xi \pm 1/3\tau_1^2\tau_2; d\eta = d\xi.$$

Для кубического многочлена получим приведенное выражение. Тогда

$$\frac{d\eta}{dz} = \frac{2n_0\tau_1^2\sqrt{\tau_2}}{\beta_z}(\eta^3 + p\eta + q)^{1/2}, \quad (12)$$

где

$$\begin{aligned} p &= \frac{3(n_0^2 - \beta_z^2)\tau_2 - n_0^2}{3n_0^2\tau_1^4\tau_2^2} \\ q &= \frac{\pm 2n_0^2 \mp 9\tau_2(n_0^2 - \beta_z^2) - 27\tau_1^2\tau_2^2\beta_\phi^2}{27n_0^2\tau_1^6\tau_2^3} \end{aligned} \quad (13)$$

Решение дифференциального уравнения (12) зависит от вида корней уравнения  $\eta^3 + p\eta + q = 0$ . Дискриминант этого уравнения  $D$  определяется выражением [9]:

$$\begin{aligned} D &= \left(\frac{p}{3}\right)^3 + \left(\frac{q}{2}\right)^2 = \\ &= \frac{(n_0^2 - \beta_z^2)^2[4\tau_2(n_0^2 - \beta_z^2) - n_0^2]}{4 * 27n_0^6\tau_1^{12}\tau_2^4} + \\ &+ \frac{n_0^2\tau_1^2\beta_\phi^2[27\tau_1^2\tau_2^2\beta_\phi^2 \mp 4n_0^2 \pm 18\tau_2(n_0^2 - \beta_z^2)]}{4 * 27n_0^6\tau_1^{12}\tau_2^4} \end{aligned} \quad (14)$$

a) Кубическое уравнение имеет действительные корни, если  $D \leq 0$  и  $p < 0$  [9]. Положим

$$\begin{aligned} R &= \frac{(\text{sign}q)\sqrt{|p|}}{3} \\ \cos \Psi &= \frac{q}{2R^3} \end{aligned} \quad (15)$$

Тогда действительные корни определяются выражениями [9]:

$$\begin{aligned} \eta_1 &= -2R \cos \frac{\Psi}{3} \\ \eta_2 &= -2R \cos \left( \frac{\Psi}{3} + \frac{2\pi}{3} \right) \\ \eta_3 &= -2R \cos \left( \frac{\Psi}{3} + \frac{4\pi}{3} \right) \end{aligned} \quad (16)$$

Для многочлена

$$\xi^3 \pm \frac{1}{\tau_1^2\tau_2}\xi^2 + \frac{(n_0^2 - \beta_z^2)}{n_0^2\tau_1^4\tau_2}\xi - \frac{\beta_\phi^2}{n_0^2\tau_1^4\tau_2} \quad (17)$$

действительные корни определяются следующим образом

$$\begin{aligned} \xi_1 &= \eta_1 \mp \frac{1}{3\tau_1^2\tau_2} = -2R \cos \frac{\Psi}{3} \mp \frac{1}{3\tau_1^2\tau_2} \\ \xi_2 &= \eta_2 \mp \frac{1}{3\tau_1^2\tau_2} = -2R \cos \left( \frac{\Psi}{3} + \frac{2\pi}{3} \right) \mp \frac{1}{3\tau_1^2\tau_2} \\ \xi_3 &= \eta_3 \mp \frac{1}{3\tau_1^2\tau_2} = -2R \cos \left( \frac{\Psi}{3} + \frac{4\pi}{3} \right) \mp \frac{1}{3\tau_1^2\tau_2} \end{aligned} \quad (18)$$

Обозначим наименьший из корней  $\xi_i$  через  $\alpha$ , средний по величине – через  $\beta$ , а наибольший по величине –  $\gamma$ . Тогда уравнение (11) можно переписать следующим образом:

$$\frac{d\xi}{dz} = \frac{2n_0\tau_1^2\sqrt{\tau_2}}{\beta_z}((\xi - \alpha)(\xi - \beta)(\xi - \gamma))^{1/2}. \quad (19)$$

После разделения переменных получим:

$$\frac{d\xi}{\sqrt{(\xi - \alpha)(\xi - \beta)(\xi - \gamma)}} = \frac{2n_0\tau_1^2\sqrt{\tau_2}}{\beta_z}dz. \quad (20)$$

В левой части этого уравнения под знаком корня должна стоять положительная величина, т. е. выражение (17) должно быть  $\geq 0$ . Это условие выполняется для интервалов:

1.  $\alpha \leq \xi \leq \beta$  и

2.  $\gamma \leq \xi$ .

Рассмотрим решения системы (6) для каждого из этих интервалов.

1.  $\alpha \leq \xi \leq \beta$ .

Для решения уравнения (20) введем новую переменную  $\varphi$  по правилу [7]

$$\xi = \alpha + (\beta - \alpha) \sin^2 \varphi. \quad (21)$$

После несложных преобразований из уравнения (20) можно получить:

$$\frac{2}{\sqrt{\gamma - \alpha}} \int_{u_0}^u \frac{d\varphi}{\sqrt{1 - k^2 \sin^2 \varphi}} = \frac{2n_0 \tau_1^2 \sqrt{\tau_2}}{\beta_z} (z - z_0), \quad (22)$$

где

$$k^2 = \frac{\beta - \alpha}{\gamma - \alpha}$$

$$0 < k^2 < 1$$

$$u_0 = \arcsin \sqrt{\frac{\rho_0^2 - \alpha}{\beta - \alpha}}. \quad (23)$$

$$u = \arcsin \sqrt{\frac{\rho^2 - \alpha}{\beta - \alpha}}$$

В результате, после интегрирования выражения (22), получим:

$$F(u, k) = \frac{n_0 \tau_1^2 \sqrt{\tau_2(\gamma - \alpha)}}{\beta_z} (z - z_0 + z'). \quad (24)$$

$$z' = \frac{\beta_z F(u_0, k)}{n_0 \tau_1^2 \sqrt{\tau_2(\gamma - \alpha)}}$$

Здесь  $F(u, k)$  - неполный нормальный эллиптический интеграл первого рода [8]. После обращения интеграла (24) окончательно получим:

$$\rho^2 = \alpha + (\beta - \alpha) sn^2 \left[ \frac{n_0 \tau_1^2 \sqrt{\tau_2(\gamma - \alpha)}}{\beta_z} (z - z_0 + z') \right], \quad (25)$$

$sn \theta$  - эллиптическая функция Якоби, называемая синусом амплитуды [8].

Определим теперь зависимость полярного угла  $\rho$  от расстояния  $\rho$  из второго уравнения системы (6). Проведя преобразования, аналогичные указанным выше, несложно получить следующее выражение:

$$\varphi = \varphi_0 + \frac{\beta_\varphi}{n_0 \tau_1^2 \sqrt{\tau_2(\gamma - \alpha)} \alpha} [\Pi(u, n, k) - \Pi(u_0, n, k)], \quad (26)$$

где параметр интеграла  $n = \frac{\beta - \alpha}{\alpha}$ ,  $\Pi(u, n, k)$  - неполный нормальный эллиптический интеграл в форме Лежандра третьего рода [8], остальные величины определены в (23).

2. Рассмотрим второй интервал  $\gamma \leq \xi$ . В этом случае для решения уравнения (20) необходимо сделать замену переменных [7]

$$\xi = \frac{\gamma - \beta \sin^2 \varphi}{1 - \sin^2 \varphi}. \quad (27)$$

При такой замене уравнение (20) приводится к виду (22) с модулем интеграла  $k$ , определенным в (23). Однако величины  $u$  и  $u_0$  здесь определяются так

$$u_0 = \arcsin \sqrt{\frac{\rho_0^2 - \gamma}{\rho_0^2 - \beta}}, \quad (28)$$

$$u = \arcsin \sqrt{\frac{\rho^2 - \gamma}{\rho^2 - \beta}}$$

Решение уравнения (20) имеет теперь более сложный вид, чем (25):

$$\rho^2 = \frac{\gamma - \beta sn^2 \left[ \frac{n_0 \tau_1^2 \sqrt{\tau_2(\gamma - \alpha)}}{\beta_z} (z - z_0 + z') \right]}{cn^2 \left[ \frac{n_0 \tau_1^2 \sqrt{\tau_2(\gamma - \alpha)}}{\beta_z} (z - z_0 + z') \right]}. \quad (29)$$

Здесь  $z'$  имеет такой же вид, как в (24), но  $u_0$  нужно брать из (28),  $cn \theta$  - эллиптическая функция Якоби, называемая косинусом амплитуды [8].

Зависимость полярного угла от расстояния от оптической оси определяется из второго уравнения системы (6) при помощи замены (27) и представляет собой комбинацию эллиптических интегралов первого и третьего рода:

$$\varphi = \varphi_0 + \frac{\beta_\varphi (n+1)}{nn_0 \tau_1^2 \sqrt{\tau_2(\gamma - \alpha)} \gamma} \Pi(u, n, k) - \frac{\beta_\varphi}{nn_0 \tau_1^2 \sqrt{\tau_2(\gamma - \alpha)} \gamma} F(u, k) + \varphi'. \quad (30)$$

В выражении (30) параметр интеграла  $n = -\beta/\gamma$ , величины  $u$  и  $u_0$  определены в (28),

$$\varphi' = -\frac{\beta_\varphi (n+1)}{nn_0 \tau_1^2 \sqrt{\tau_2(\gamma - \alpha)} \gamma} \Pi(u_0, n, k) + \frac{\beta_\varphi}{nn_0 \tau_1^2 \sqrt{\tau_2(\gamma - \alpha)} \gamma} F(u_0, k) \quad (31)$$

Таким образом, если многочлен (17) имеет действительные корни, то решениями системы уравнений (6) являются выражения (25,26) и (29,30).

б) Кубическое уравнение имеет два комплексных корня и один действительный, если  $D > 0$  и  $p < 0$  или  $p > 0$  [9]. Корни приведенного многочлена третьей степени представлены в таблице 1.

Обозначим действительный корень многочлена (17)

$$\xi_1 = \eta_1 \mp \frac{1}{3\tau_2 \tau_1^2} = \alpha.$$

Тогда

$$\xi^3 \pm \frac{1}{\tau_1^2 \tau_2} \xi^2 + \frac{(n_0^2 - \beta_z^2)}{n_0^2 \tau_1^4 \tau_2} \xi - \frac{\beta_\varphi^2}{n_0^2 \tau_1^4 \tau_2} = \\ = (\xi - \alpha)(\xi^2 + \chi \xi + \sigma),$$

где  $(\xi^2 + \chi \xi + \sigma)$  - трехчлен с вещественными коэффициентами всегда остается положительным при вещественных  $\xi$ . Коэффициенты  $\sigma$  и  $\chi$  можно найти из табл. 1. Интервал  $\alpha \leq \xi$  соответствует положительным значениям выражения (17).

Таблица 1

$p < 0$ и $D > 0$	$p > 0$
$R = \frac{(signq)\sqrt{ p }}{3}$	$R = \frac{(signq)\sqrt{ p }}{3}$
$ch\Psi = \frac{q}{2R^3}$	$sh\Psi = \frac{q}{2R^3}$
Действительные корни	
$\eta_1 = -2Rch \frac{\Psi}{3}$	$\eta_1 = -2Rsh \frac{\Psi}{3}$
Мнимые корни	
$\eta_2 = Rch \frac{\Psi}{3} + i\sqrt{3}Rsh \frac{\Psi}{3}$	$\eta_2 = Rsh \frac{\Psi}{3} + i\sqrt{3}Rch \frac{\Psi}{3}$
$\eta_3 = Rch \frac{\Psi}{3} - i\sqrt{3}Rsh \frac{\Psi}{3}$	$\eta_3 = Rsh \frac{\Psi}{3} - i\sqrt{3}Rch \frac{\Psi}{3}$

Чтобы проинтегрировать уравнения (6) введем новую переменную [7] по правилу:

$$\xi = \alpha + \sqrt{\alpha^2 + \chi\alpha + \sigma} \operatorname{tg}^2 \frac{\varphi}{2}. \quad (32)$$

В результате после преобразований из уравнения (20) получим:

$$\begin{aligned} \frac{1}{(\alpha^2 + \chi\alpha + \sigma)^{1/4}} \int_{u_0}^u \frac{d\varphi}{\sqrt{1 - k^2 \sin^2 \varphi}} = \\ = \frac{2n_0 \tau_1^2 \sqrt{\tau_2}}{\beta_z} (z - z_0), \end{aligned} \quad (33)$$

где

$$k^2 = \frac{1}{2} \left( 1 - \frac{\alpha + \chi/2}{\sqrt{(\alpha^2 + \chi\alpha + \sigma)}} \right),$$

$$0 < k^2 < 1$$

$$\begin{aligned} u_0 &= 2 \arcsin \left[ \frac{\rho_0^2 - \alpha}{\rho_0^2 - \alpha + \sqrt{(\alpha^2 + \chi\alpha + \sigma)}} \right]^{1/2}, \\ u &= 2 \arcsin \left[ \frac{\rho^2 - \alpha}{\rho^2 - \alpha + \sqrt{(\alpha^2 + \chi\alpha + \sigma)}} \right]^{1/2}. \end{aligned} \quad (34)$$

Далее, проинтегрировав уравнение (33), окончательно определим зависимость

$$\begin{aligned} \rho^2 &= \sqrt{(\alpha^2 + \chi\alpha + \sigma)} \operatorname{tg}^2 \left\{ \frac{1}{2} am[\delta(z - z_0 + z')] \right\} + \alpha, \\ \delta &= \frac{2n_0 \tau_1^2 \sqrt{\tau_2} (\alpha^2 + \chi\alpha + \sigma)^{1/4}}{\beta_z}, \\ z' &= \frac{\beta_z F(u_0, k)}{2n_0 \tau_1^2 \sqrt{\tau_2} (\alpha^2 + \chi\alpha + \sigma)^{1/4}}. \end{aligned} \quad (35)$$

Ввиду громоздкости преобразований при определении зависимости полярного угла  $\varphi$  от  $\rho$ , здесь приведен окончательный результат:

$$\varphi = \varphi_0 + \varepsilon(1-b)I_1(u) + \varepsilon F(u, k) - \varphi';$$

$$\varepsilon = \frac{\beta_\varphi}{2n_0 \tau_1^2 \sqrt{\tau_2} (\alpha^2 + \chi\alpha + \sigma)^{1/4} (\alpha - (\alpha^2 + \chi\alpha + \sigma)^{1/2})};$$

$$b = \frac{\alpha + (\alpha^2 + \chi\alpha + \sigma)^{1/2}}{\alpha - (\alpha^2 + \chi\alpha + \sigma)^{1/2}};$$

$$\begin{aligned} I_1(u) &= \frac{b}{b^2 - 1} \Pi \left( u, \frac{b}{b^2 - 1}, k \right) + \\ &+ \frac{1}{2\sqrt{(1-b^2)(k'^2 + b^2 k^2)}} \ln \left[ \frac{\sqrt{1-b^2}\Delta + k\sqrt{k'^2 + b^2 k^2} \sin u}{\sqrt{1-b^2}\Delta - k\sqrt{k'^2 + b^2 k^2} \sin u} \right] \\ \varphi' &= \varepsilon(1-b)I_1(u_0) + \varepsilon F(u_0, k), \end{aligned}$$

$$\Delta = \sqrt{1 - k^2 \sin^2 u}, \quad (36)$$

$$k'^2 = 1 - k^2.$$

Величины  $k$ ,  $u$ ,  $u_0$  определены в (34).

Таким образом, если многочлен (17) имеет два комплексных корня и один действительный, то решением системы уравнений (6) являются выражения (35,36) с учетом (34).

## 2. Квадрат показателя преломления ограничен $\rho^6$

Рассмотрим решения системы уравнений (6), если квадрат показателя преломления задан выражением (4).

Сделав замену переменных  $\rho^2 = \xi$ , уравнения (6) можно переписать так:

$$\begin{aligned} \frac{d\xi}{dz} &= \frac{2n_0 \tau_1^3 \sqrt{\tau_3}}{\beta_z} (\pm \xi^4 + \frac{\tau_2}{\tau_1^2 \tau_3} \xi^3 \pm \frac{1}{\tau_1^4 \tau_3} \xi^2 + \\ &+ \frac{(n_0^2 - \beta_z^2)}{n_0^2 \tau_1^6 \tau_3} \xi - \frac{\beta_\varphi^2}{n_0^2 \tau_1^6 \tau_3})^{1/2}, \\ \frac{d\varphi}{d\xi} &= \frac{\beta_\varphi}{2n_0 \tau_1^3 \sqrt{\tau_3} \xi} (\pm \xi^4 + \frac{\tau_2}{\tau_1^2 \tau_3} \xi^3 \pm \frac{1}{\tau_1^4 \tau_3} \xi^2 + \\ &+ \frac{(n_0^2 - \beta_z^2)}{n_0^2 \tau_1^6 \tau_3} \xi - \frac{\beta_\varphi^2}{n_0^2 \tau_1^6 \tau_3})^{-1/2}. \end{aligned} \quad (37)$$

Решение системы уравнений (37) зависит от вида корней многочлена четвертой степени. Определим корни  $\xi$ .

Преобразуем многочлен четвертой степени к приведенному виду. Для этого введем переменную  $\eta = \xi \pm \tau_2 / 4\tau_1^2\tau_3$  [9]. В результате получим

$$\begin{aligned} & \pm \xi^4 + \frac{\tau_2}{\tau_1^2\tau_3}\xi^3 \pm \frac{1}{\tau_1^4\tau_3}\xi^2 + \\ & + \frac{(n_0^2 - \beta_z^2)}{n_0^2\tau_1^6\tau_3}\xi - \frac{\beta_\phi^2}{n_0^2\tau_1^6\tau_3} = , \\ & = \pm \eta^4 + p\eta^2 + q\eta + r \end{aligned} \quad (38)$$

где

$$\begin{aligned} p &= \frac{\mp 3\tau_2^2 \pm 8\tau_3}{8\tau_1^4\tau_3^2}; \\ q &= \frac{n_0^2\tau_2^3 - 4\tau_2 n_0^2\tau_3 + 8\tau_3^2(n_0^2 - \beta_z^2)}{8n_0^2\tau_1^6\tau_3^3}; \\ r &= \frac{\mp 3\tau_2^4 n_0^2 \pm 16\tau_2^2 n_0^2\tau_3 \mp 64\tau_2\tau_3^2(n_0^2 - \beta_z^2) - 256\tau_1^2\tau_3^3\beta_\phi^2}{256n_0^2\tau_1^8\tau_3^4}. \end{aligned} \quad (39)$$

Вид решения уравнения  $\pm \eta^4 + p\eta^2 + q\eta + r = 0$  зависит от вида решения его кубической резольвенты:

$$z^3 \pm 2pz^2 + (p^2 \mp 4r)z - q^2 = 0. \quad (40)$$

Запишем для (40) приведенное уравнение:

$$\begin{aligned} y^3 + p'y + q' &= 0; \\ p' &= \frac{\mp 12r - p^2}{3}; \\ q' &= \frac{\mp 2p^3 + 72pr - 27q^2}{27}. \end{aligned} \quad (41)$$

Дискриминант приведенного уравнения для кубической резольвенты  $D' = (p'/3)^3 + (q'/2)^2$ . Если  $D' < 0$  и  $p' < 0$ , корни действительные и имеют вид:

$$\begin{aligned} R &= \frac{(sign q')\sqrt{|p'|}}{3}, \quad y_1 = -2R \cos \frac{\Psi}{3}, \\ \cos \Psi &= \frac{q'}{2R^3}, \quad y_2 = -2R \cos \left( \frac{\Psi}{3} + \frac{2\pi}{3} \right), \\ &\quad y_3 = -2R \cos \left( \frac{\Psi}{3} - \frac{4\pi}{3} \right). \end{aligned} \quad (42)$$

Если  $p' < 0$  и  $D' > 0$  или  $p' > 0$  корни могут быть определены из табл. 1, в которой величины  $p$  и  $q$  нужно заменить на  $p'$  и  $q'$ .

$z_i = y_i \mp 2p/3$  - корни кубической резольвенты (40).

Приведенный многочлен четвертой степени в (38) имеет следующие корни [9]:

$$\begin{aligned} \eta_1 &= (\sqrt{z_1} + \sqrt{z_2} + \sqrt{z_3})/2; \\ \eta_2 &= (\sqrt{z_1} - \sqrt{z_2} - \sqrt{z_3})/2; \\ \eta_3 &= (-\sqrt{z_1} + \sqrt{z_2} - \sqrt{z_3})/2; \\ \eta_4 &= (-\sqrt{z_1} - \sqrt{z_2} + \sqrt{z_3})/2. \end{aligned} \quad (43)$$

При этом знаки перед радикалами  $\sqrt{z_i}$  выбирают так, чтобы  $\sqrt{z_1}\sqrt{z_2}\sqrt{z_3} = -q$ .

Если корни уравнения (40) действительны и положительны, то уравнение

$$\pm \eta^4 + p\eta^2 + q\eta + r = 0 \quad (44)$$

имеет 4 действительных корня. Если (40) имеет положительный действительный и два отрицательных действительных корня, то (44) имеет две пары комплексно сопряженных корней. Если (40) имеет один действительный и два комплексно сопряженных корня, то (44) имеет два действительных и два комплексно сопряженных корня.

Для уравнения

$$\pm \xi^4 + \frac{\tau_2}{\tau_1^2\tau_3}\xi^3 \pm \frac{1}{\tau_1^4\tau_3}\xi^2 + \frac{(n_0^2 - \beta_z^2)}{n_0^2\tau_1^6\tau_3}\xi - \frac{\beta_\phi^2}{n_0^2\tau_1^6\tau_3} = 0 \quad (45)$$

корни определяются так:  $\xi_i = \eta_i \mp \tau_2 / 4\tau_1^2\tau_3$  ( $i=1,2,3,4$ ).

В зависимости от коэффициента при старшем члене, вида корней  $\xi_i$  и интервалов, на которых (38)  $\geq 0$ , в таблице 2 приведены необходимые для решения системы (6) замены переменных [7] и полученные зависимости  $\rho^2(z)$  и  $\phi(\rho^2)$ .

В таб. 2 используются следующие обозначения. Для случая, когда все корни многочлена (38) вещественны, эти корни обозначены:  $\alpha, \beta, \gamma, \delta$ , причем предполагается, что  $\alpha < \beta < \gamma < \delta$ . В случае, когда (38) имеет два вещественных и пару комплексных корней,  $\gamma < \delta$  являются вещественными корнями, а комплексные корни заданы выражением  $b_0 \pm i c_0$  ( $c_0 > 0$ ). В случае, когда (38) имеет две пары комплексно сопряженных корней, эти корни имеют вид  $b_1 \pm i c_1$  ( $c_1 > 0$ ),  $b_2 \pm i c_2$  ( $c_2 > 0$ ),  $b_1 > b_2$ .

Кроме того, в таб. 2 использованы вспомогательные величины:

$$\begin{aligned} \operatorname{tg} \theta_1 &= \frac{\delta - b_0}{c_0}, \quad \operatorname{tg} \theta_2 = \frac{\gamma - b_0}{c_0}; \\ v &= \operatorname{tg} \frac{\theta_2 - \theta_1}{2} \operatorname{tg} \frac{\theta_2 + \theta_1}{2}; \\ \operatorname{tg} \theta_3 &= \frac{c_1 + c_2}{b_1 - b_2}, \quad \operatorname{tg} \theta_4 = \frac{c_1 - c_2}{b_1 - b_2}; \\ \operatorname{tg}^2 \frac{\theta_5}{2} &= \frac{\cos \theta_3}{\cos \theta_4}. \end{aligned} \quad (46)$$

Вид интеграла  $I_1(u)$  определен в (36).

Таблица 2 составлена с учетом работ [7, 8].

### Заключение

В выражениях (25, 26), (29, 30), (35, 36) и таб. 2 представлены в аналитическом виде уравнения траекторий лучей, распространяющихся в радиально-градиентной среде с профилем показателя преломления (4). Эти выражения имеют достаточно простой вид и могут быть легко разложены в ряд по заданному параметру.

С учетом формулы (7) полученные выражения дают возможность при любых начальных параметрах определить высоту и наклон луча в произвольной точке траектории.

Зависимости $\rho^2(z)$ и $\phi(\rho^2)$ для профиля показателя преломления, заданного выражением (4)					
Нули (38)	Коэффиц. при старшем члене	Интервал	Замена переменных	Выражения для $u, u_0, k^2, z', n;$ $b, c$ – вспомогательные величины	$\rho^2(z), \phi(\rho^2)$
Четыре вещественных.	+1	$\xi \leq \alpha$ или $\delta \leq \xi$	$\xi = \frac{\delta(\gamma - \alpha) - \gamma(\delta - \alpha)\sin^2 \varphi}{(\gamma - \alpha) - (\delta - \alpha)\sin^2 \varphi}$	$u_0 = \arcsin \sqrt{\frac{(\rho_0^2 - \delta)(\gamma - \alpha)}{(\rho_0^2 - \gamma)(\delta - \alpha)}}$ $u = \arcsin \sqrt{\frac{(\rho^2 - \delta)(\gamma - \alpha)}{(\rho^2 - \gamma)(\delta - \alpha)}}$ $z' = \frac{\beta_z}{n_0 \tau_1^3 \sqrt{\tau_3(\gamma - \alpha)(\delta - \beta)}} F(u_0, k)$ $k^2 = \frac{(\delta - \alpha)(\gamma - \beta)}{(\gamma - \alpha)(\delta - \beta)}$ $n = \frac{\gamma(\alpha - \delta)}{\delta(\gamma - \alpha)}$	$\rho^2 = \frac{\delta(\gamma - \alpha) - \gamma(\delta - \alpha)sn^2 \left[ \frac{n_0 \tau_1^3 \sqrt{\tau_3(\gamma - \alpha)(\delta - \beta)}}{\beta_z} (z - z_0 + z') \right]}{(\gamma - \alpha) - (\delta - \alpha)sn^2 \left[ \frac{n_0 \tau_1^3 \sqrt{\tau_3(\gamma - \alpha)(\delta - \beta)}}{\beta_z} (z - z_0 + z') \right]}$ $\phi = \varphi_0 + \frac{\beta_\varphi(\gamma - \delta)}{n_0 \tau_1^3 \delta \gamma \sqrt{\tau_3(\gamma - \alpha)(\delta - \beta)}} \Pi(u, n, k) +$ $+ \frac{\beta_\varphi}{n_0 \tau_1^3 \gamma \sqrt{\tau_3(\gamma - \alpha)(\delta - \beta)}} F(u, k) - \varphi'$ $\varphi' = \frac{\beta_\varphi(\gamma - \delta)}{n_0 \tau_1^3 \delta \gamma \sqrt{\tau_3(\gamma - \alpha)(\delta - \beta)}} \Pi(u_0, n, k) +$ $+ \frac{\beta_\varphi}{n_0 \tau_1^3 \gamma \sqrt{\tau_3(\gamma - \alpha)(\delta - \beta)}} F(u_0, k)$
		$\beta \leq \xi \leq \gamma$	$\xi = \frac{\beta(\gamma - \alpha) - \alpha(\gamma - \beta)\sin^2 \varphi}{(\gamma - \alpha) - (\gamma - \beta)\sin^2 \varphi}$	$u_0 = \arcsin \sqrt{\frac{(\rho_0^2 - \beta)(\gamma - \alpha)}{(\rho_0^2 - \alpha)(\gamma - \beta)}}$ $u = \arcsin \sqrt{\frac{(\rho^2 - \beta)(\gamma - \alpha)}{(\rho^2 - \alpha)(\gamma - \beta)}}$ $z' = \frac{\beta_z}{n_0 \tau_1^3 \sqrt{\tau_3(\gamma - \alpha)(\delta - \beta)}} F(u_0, k)$ $k^2 = \frac{(\delta - \alpha)(\gamma - \beta)}{(\gamma - \alpha)(\delta - \beta)}$ $n = \frac{\alpha(\beta - \gamma)}{\beta(\gamma - \alpha)}$	$\rho^2 = \frac{\beta(\gamma - \alpha) - \alpha(\gamma - \beta)sn^2 \left[ \frac{n_0 \tau_1^3 \sqrt{\tau_3(\gamma - \alpha)(\delta - \beta)}}{\beta_z} (z - z_0 + z') \right]}{(\gamma - \alpha) - (\gamma - \beta)sn^2 \left[ \frac{n_0 \tau_1^3 \sqrt{\tau_3(\gamma - \alpha)(\delta - \beta)}}{\beta_z} (z - z_0 + z') \right]}$ $\phi = \varphi_0 + \frac{\beta_\varphi(\alpha - \beta)}{n_0 \tau_1^3 \alpha \beta \sqrt{\tau_3(\gamma - \alpha)(\delta - \beta)}} \Pi(u, n, k) +$ $+ \frac{\beta_\varphi}{n_0 \tau_1^3 \alpha \sqrt{\tau_3(\gamma - \alpha)(\delta - \beta)}} F(u, k) - \varphi'$ $\varphi' = \frac{\beta_\varphi(\alpha - \beta)}{n_0 \tau_1^3 \alpha \beta \sqrt{\tau_3(\gamma - \alpha)(\delta - \beta)}} \Pi(u_0, n, k) +$ $+ \frac{\beta_\varphi}{n_0 \tau_1^3 \alpha \sqrt{\tau_3(\gamma - \alpha)(\delta - \beta)}} F(u_0, k)$

	-1	$\alpha \leq \xi \leq \beta$	$\xi = \frac{\alpha(\delta-\beta)+\delta(\beta-\alpha)\sin^2\varphi}{(\delta-\beta)+(\beta-\alpha)\sin^2\varphi}$	$u_0 = \arcsin \sqrt{\frac{(\rho_0^2 - \alpha)(\delta - \beta)}{(\delta - \rho_0^2)(\beta - \alpha)}}$ $u = \arcsin \sqrt{\frac{(\rho^2 - \alpha)(\delta - \beta)}{(\delta - \rho^2)(\beta - \alpha)}}$ $z' = \frac{\beta_z}{n_0 \tau_1^3 \sqrt{\tau_3(\gamma - \alpha)(\delta - \beta)}} F(u_0, k)$ $k^2 = \frac{(\beta - \alpha)(\delta - \gamma)}{(\gamma - \alpha)(\delta - \beta)}$ $n = \frac{\delta(\beta - \alpha)}{\alpha(\delta - \beta)}$	$\rho^2 = \frac{\alpha(\delta - \beta) + \delta(\beta - \alpha)sn^2 \left[ \frac{n_0 \tau_1^3 \sqrt{\tau_3(\gamma - \alpha)(\delta - \beta)}}{\beta_z} (z - z_0 + z') \right]}{(\delta - \beta) - (\beta - \alpha)sn^2 \left[ \frac{n_0 \tau_1^3 \sqrt{\tau_3(\gamma - \alpha)(\delta - \beta)}}{\beta_z} (z - z_0 + z') \right]}$ $\varphi = \varphi_0 + \frac{\beta_\varphi(\delta - \alpha)}{n_0 \tau_1^3 \alpha \delta \sqrt{\tau_3(\gamma - \alpha)(\delta - \beta)}} \Pi(u, n, k) +$ $+ \frac{\beta_\varphi}{n_0 \tau_1^3 \delta \sqrt{\tau_3(\gamma - \alpha)(\delta - \beta)}} F(u, k) - \varphi'$ $\varphi' = \frac{\beta_\varphi(\delta - \alpha)}{n_0 \tau_1^3 \alpha \delta \sqrt{\tau_3(\gamma - \alpha)(\delta - \beta)}} \Pi(u_0, n, k) +$ $+ \frac{\beta_\varphi}{n_0 \tau_1^3 \delta \sqrt{\tau_3(\gamma - \alpha)(\delta - \beta)}} F(u_0, k)$
		$\gamma \leq \xi \leq \delta$	$\xi = \frac{\gamma(\delta-\beta)-\beta(\delta-\gamma)\sin^2\varphi}{(\delta-\beta)-(\delta-\gamma)\sin^2\varphi}$	$u_0 = \arcsin \sqrt{\frac{(\rho_0^2 - \gamma)(\delta - \beta)}{(\rho_0^2 - \beta)(\delta - \gamma)}}$ $u = \arcsin \sqrt{\frac{(\rho^2 - \gamma)(\delta - \beta)}{(\rho^2 - \beta)(\delta - \gamma)}}$ $z' = \frac{\beta_z}{n_0 \tau_1^3 \sqrt{\tau_3(\gamma - \alpha)(\delta - \beta)}} F(u_0, k)$ $k^2 = \frac{(\beta - \alpha)(\delta - \gamma)}{(\gamma - \alpha)(\delta - \beta)}$ $n = \frac{\beta(\gamma - \delta)}{\gamma(\delta - \beta)}$	$\rho^2 = \frac{\gamma(\delta - \beta) - \beta(\delta - \gamma)sn^2 \left[ \frac{n_0 \tau_1^3 \sqrt{\tau_3(\gamma - \alpha)(\delta - \beta)}}{\beta_z} (z - z_0 + z') \right]}{(\delta - \beta) - (\delta - \gamma)sn^2 \left[ \frac{n_0 \tau_1^3 \sqrt{\tau_3(\gamma - \alpha)(\delta - \beta)}}{\beta_z} (z - z_0 + z') \right]}$ $\varphi = \varphi_0 + \frac{\beta_\varphi(\beta - \gamma)}{n_0 \tau_1^3 \gamma \beta \sqrt{\tau_3(\gamma - \alpha)(\delta - \beta)}} \Pi(u, n, k) +$ $+ \frac{\beta_\varphi}{n_0 \tau_1^3 \beta \sqrt{\tau_3(\gamma - \alpha)(\delta - \beta)}} F(u, k) - \varphi'$ $\varphi' = \frac{\beta_\varphi(\beta - \gamma)}{n_0 \tau_1^3 \gamma \beta \sqrt{\tau_3(\gamma - \alpha)(\delta - \beta)}} \Pi(u_0, n, k) +$ $+ \frac{\beta_\varphi}{n_0 \tau_1^3 \beta \sqrt{\tau_3(\gamma - \alpha)(\delta - \beta)}} F(u_0, k)$

Два вещественных и два комплексных	+1	$\delta \leq \xi$ или $\xi \leq \gamma$	$\operatorname{tg}^2 \frac{\varphi}{2} = \frac{\cos \theta_1(\delta - \xi)}{\cos \theta_2(\xi - \gamma)}$ , $\xi = \frac{\delta + \gamma}{2} - \frac{\delta - \gamma}{2} \frac{\nu - \cos \varphi}{1 - \nu \cos \varphi}$ ,	$\theta_1 - \text{острый},$ $\theta_2 - \text{тупой},$ $u_0 = 2\operatorname{arctg} \sqrt{\frac{\cos \theta_1(\delta - \rho_0^2)}{\cos \theta_2(\rho_0^2 - \gamma)}},$ $u = 2\operatorname{arctg} \sqrt{\frac{\cos \theta_1(\delta - \rho^2)}{\cos \theta_2(\rho^2 - \gamma)}},$ $z' = \frac{\beta_z(-\cos \theta_1 \cos \theta_2)^{1/2}}{2c_0 n_0 \tau_1^3 \sqrt{\tau_3}} F(u_0, k),$ $k^2 = \sin^2 \frac{\theta_1 - \theta_2}{2},$ $b = \frac{(\delta + \gamma) - (\delta - \gamma)\nu}{(\delta - \gamma) - (\delta + \gamma)\nu}.$	$\rho^2 = \frac{\delta - \gamma \frac{\cos \theta_2}{\cos \theta_1} \operatorname{tg}^2 \left[ \frac{1}{2} \operatorname{am} \left( \frac{2c_0 n_0 \tau_1^3 \sqrt{\tau_3}}{\beta_z(-\cos \theta_1 \cos \theta_2)^{1/2}} (z - z_0 + z') \right) \right]}{1 + \frac{\cos \theta_2}{\cos \theta_1} \operatorname{tg}^2 \left[ \frac{1}{2} \operatorname{am} \left( \frac{2c_0 n_0 \tau_1^3 \sqrt{\tau_3}}{\beta_z(-\cos \theta_1 \cos \theta_2)^{1/2}} (z - z_0 + z') \right) \right]}$ $\varphi = \varphi_0 + \frac{\beta_\varphi (-\cos \theta_1 \cos \theta_2)^{1/2} (1 + b\nu)}{c_0 n_0 \tau_1^3 \sqrt{\tau_3} [(\delta - \gamma) - \nu(\delta + \gamma)]} I_1(u) -$ $- \frac{\beta_\varphi (-\cos \theta_1 \cos \theta_2)^{1/2} \nu}{c_0 n_0 \tau_1^3 \sqrt{\tau_3} [(\delta - \gamma) - \nu(\delta + \gamma)]} F(u, k)$ $\varphi' = + \frac{\beta_\varphi (-\cos \theta_1 \cos \theta_2)^{1/2} (1 + b\nu)}{c_0 n_0 \tau_1^3 \sqrt{\tau_3} [(\delta - \gamma) - \nu(\delta + \gamma)]} I_1(u_0) -$ $- \frac{\beta_\varphi (-\cos \theta_1 \cos \theta_2)^{1/2} \nu}{c_0 n_0 \tau_1^3 \sqrt{\tau_3} [(\delta - \gamma) - \nu(\delta + \gamma)]} F(u_0, k)$
	-1	$\gamma \leq \xi \leq \delta$		$\theta_1, \theta_2 - \text{острые}.$	Вид решения такой же, как в случае $\delta \leq \xi$ или $\xi \leq \gamma$ , с учетом замены множителя $\frac{(-\cos \theta_1 \cos \theta_2)^{1/2}}{c_0}$ на множитель $-\frac{(\cos \theta_1 \cos \theta_2)^{1/2}}{c_0}$ .
Четыре комплексных, $b_1 > b_2$	1	$-\infty \leq \xi \leq \infty$	$\xi = b_1 + c_1 \operatorname{tg} \left( \varphi + \frac{\theta_3 + \theta_4}{2} \right)$	$\theta_3, \theta_4, \theta_5 / 2 - \text{острые}.$ $u_0 = \operatorname{arctg} \left( \frac{\rho_0^2 - b_1}{c_1} \right) - \frac{\theta_3 + \theta_4}{2},$ $u = \operatorname{arctg} \left( \frac{\rho^2 - b_1}{c_1} \right) - \frac{\theta_3 + \theta_4}{2},$ $z' = \frac{\beta_z (\cos \theta_5)^{1/2}}{2n_0 \tau_1^3 \sqrt{\tau_3} (c_1 c_2)^{1/2}} F(u_0, k)$ $k^2 = \sin^2 \theta_5$ $c = \frac{b_1 + c_1 \operatorname{tg} \frac{\theta_3 + \theta_4}{2}}{c_1 - b_1 \operatorname{tg} \frac{\theta_3 + \theta_4}{2}}.$	$\rho^2 = b_1 + c_1 \operatorname{tg} \left\{ \operatorname{am} \left[ \frac{2n_0 \tau_1^3 \sqrt{\tau_3} \left( \frac{c_1 c_2}{\cos \theta_5} \right)^{1/2} (z - z_0 + z')}{\beta_z} \right] + \frac{\theta_3 + \theta_4}{2} \right\}$ $\varphi = \varphi_0 + \frac{\beta_\varphi \left( \frac{\cos \theta_5}{c_1 c_2} \right)^{1/2} \left( 1 + \operatorname{tg} \left( \frac{\theta_3 + \theta_4}{2} \right) c \right)}{2n_0 \tau_1^3 \sqrt{\tau_3}} I^{*}_2(u) -$ $- \frac{\beta_\varphi \left( \frac{\cos \theta_5}{c_1 c_2} \right)^{1/2} \operatorname{tg} \left( \frac{\theta_3 + \theta_4}{2} \right)}{c_1 - b_1 \operatorname{tg} \frac{\theta_3 + \theta_4}{2}} F(u, k) - \varphi'.$

<p>Четыре комплексных,</p> <p><math>b_1 = b_2</math></p> <p><math>c_1 &gt; c_2</math></p>	$\xi = b_1 - c_1 \operatorname{ctg} \varphi.$	$u_0 = \operatorname{arctg} \frac{c_1}{b_1 - \rho_0^2},$ $u = \operatorname{arctg} \frac{c_1}{b_1 - \rho^2},$ $z' = \frac{\beta_z}{2\tau_1^3 n_0 \sqrt{\tau_3} c_1} F(u_0, k)$ $k^2 = 1 - \left( \frac{c_2}{c_1} \right)^2, c = -\frac{c_1}{b_1}.$	$\rho^2 = b_1 - c_1 \operatorname{ctg} \left\{ am \left[ \frac{2n_0 \tau_1^3 \sqrt{\tau_3} c_1}{\beta_z} (z - z_0 + z') \right] \right\},$ $\varphi = \varphi_0 + \frac{\beta_\varphi}{2\tau_1^3 n_0 \sqrt{\tau_3} c_1 b_1} F(u, k) - \frac{\beta_\varphi c}{2\tau_1^3 n_0 \sqrt{\tau_3} c_1 b_1} I_2(u) - \varphi',$ $\varphi' = \frac{\beta_\varphi}{2\tau_1^3 n_0 \sqrt{\tau_3} c_1 b_1} F(u_0, k) - \frac{\beta_\varphi c}{2\tau_1^3 n_0 \sqrt{\tau_3} c_1 b_1} I_2(u_0).$
---	---	--	--

$$*) \quad I_2(u) = \frac{c}{1+c^2} F(u, k) + \frac{1}{c(c^2+1)} \Pi \left( u, -\frac{1+c^2}{c^2}, k \right) - \frac{1}{2\sqrt{(1+c^2)(1+c^2 k'^2)}} \ln \left[ \frac{\sqrt{1+c^2 k'^2} + \sqrt{1+c^2} \Delta}{\sqrt{1+c^2 k'^2} - \sqrt{1+c^2} \Delta} \right]$$

$k'$ ,  $\Delta$  - определены в (36).

### Литература

- Грейсух Г.И., Ефименко И.М, Степанов С.А. Оптика градиентных и дифракционных элементов. М.: Радио и связь, 1990. – 136 с.
- F. Bociort, J. Kross New ray – tracing method for gradient – index lenses // Proceedings SPIE. 1993. Vol. 1780, p. 216-225.
- E.W. Marchand Fifth-order analysis of GRIN lenses // Applied Optics. 1985. Vol. 24, № 24, p. 4371-4374.
- E.W. Marchand Rapid ray tracing in radial gradients // Applied Optics. 1988.- Vol. 27, № 3, p. 465-467.
- Грейсух Г.И., Степанов С.А. Расчет хода псевдолучей через оптические системы, включающие градиентные и дифракционные линзы // Опт. и спектр. 1996. Т. 81, №4. с. 698-701
- Адамс М. Введение в теорию оптических волноводов // М.: Мир, 1984. 512 с.
- Бейтмен Г., Эрдейи А. Высшие трансцендентные функции. Эллиптические и автоморфные функции. Функции Ламе и Матье // М.: Наука, 1967. 299 с.
- Градштейн И.С., Рыжик И.М. Таблицы интегралов, сумм, рядов и произведений // М.: Наука, 1971. 1108 с.
- Бронштейн И.Н., Семеняев К.А. Справочник по математике // Совм. изд-во: Лепциг «Тойбнер», М.: Наука, 1981. 718 с.

# Ray trajectories in a radially gradient medium

S.E. Kurushina<sup>1</sup>, V.V. Maksimov<sup>1</sup>, Y.L. Ratis<sup>1</sup>

<sup>1</sup>Samara State Aerospace University

## Abstract

Analytical solutions of the ray equation are obtained for a radially gradient medium with a refractive index profile limited by the quartic and sextic terms of the distance from the optical axis in the series expansion of the refractive index.

Keyword: radially gradient medium, ray equation, optical axis.

Citation: Kurushina SE, Maksimov VV, Ratis YL. Ray trajectories in a radially gradient medium. Computer Optics 2001; 22: 14-22.

## References

- [1] Greisukh GI, Efimenko IM, Stepanov SA. Optics of gradient and diffractive elements [In Russian]. Moscow: "Radio i Svyaz" Publisher; 1990.
- [2] Bociort F, Kross J. New ray-tracing method for gradient-index lenses. Proc SPIE 1993; 1780: 216-225.
- [3] Marchand EW. Fifth-order analysis of GRIN lenses. Appl Opt 1985; 24(24): 4371-4374.
- [4] Marchand EW. Rapid ray tracing in radial gradients. Appl Opt 1988; 27(3): 465-467.
- [5] Stepanov SA, Greisukh GI. Calculation of the pseudoray path through optical systems including graded-index and diffraction lenses [In Russian]. Optika i Spektroskopiya 1996; 81(4): 698-701.
- [6] Adams MJ. An introduction to optical waveguides. New York: John Wiley and Sons Ltd; 1981.
- [7] Bateman H, Erdelyi A. Higher transcendental functions. Vol III. McGraw-Hill Book Company Inc; 1955.
- [8] Gradshteyn IS, Ryzhik IM. Table of integrals, series, and products. 6<sup>th</sup> ed. New York: Academic Press; 2000.
- [9] Bronstein IN, Semendyaev KA. Mathematical Handbook. New York: Van Nostrand Reinhold, 1985.